

## Al<sub>2</sub>TiO<sub>5</sub>-점토 복합체를 이용한 적외선 방사체의 개발

신대용 · 한상목\*

강원대학교 석재복합 신소재제품 연구센터

\*강원대학교 공과대학 신소재공학과

(1999년 11월 5일 접수)

## Development of Al<sub>2</sub>TiO<sub>5</sub>-Clay Composites for Infrared Radiator

Dae Yong Shin and Sang Mok Han\*

CACP., Kangwon Nat. Uni., Chunchon 200-701, Korea

\*Dept. of Advanced Materials Eng., Kangwon Nat. Uni., Chunchon 200-701, Korea

(Received November 5, 1999)

### 초 록

적외선 방사체용 Al<sub>2</sub>TiO<sub>5</sub>-점토 복합체를 제조하기 위하여 합성 Al<sub>2</sub>TiO<sub>5</sub>분말에 10~50 wt%의 점토를 첨가하여 열팽창성, 열적 안정성, 기계적 강도 및 적외선 방사 특성을 조사하였다. 1,200°C에서 3시간 열처리한 Al<sub>2</sub>TiO<sub>5</sub>-점토 복합체의 3,400~2,500 cm<sup>-1</sup>의 분광방사율은 약 0.3, 2,500~400 cm<sup>-1</sup>의 분광방사율은 0.92 이상으로 점토의 첨가량이 증가함에 따라 분광방사율이 증가하였다. 점토의 첨가량과 열처리 온도가 증가함에 따라 흡수율은 감소하였으며 부피비중과 3점곡강도는 증가하여 12.00°C에서 3시간 열처리한 50 wt% Al<sub>2</sub>TiO<sub>5</sub>-50 wt% 점토 복합체의 3점곡강도는 80 MPa로서 적외선 방사체로 사용이 가능하였다. 점토의 첨가량이 증가함에 따라 Al<sub>2</sub>TiO<sub>5</sub>-점토 복합체의 이력현상은 감소하였으며 열팽창계수는 증가하여 1,200°C에서 3시간 열처리한 50 wt% Al<sub>2</sub>TiO<sub>5</sub>-50 wt% 점토 복합체의 평균열팽창계수는 5.78×10<sup>-6</sup>/°C이었다.

### ABSTRACT

The thermal expansion, thermal stability, mechanical strength and infrared radiative property of Al<sub>2</sub>TiO<sub>5</sub>-clay composites, prepared from synthesized Al<sub>2</sub>TiO<sub>5</sub> and clay, were investigated to develop a material for far infrared radiators. The emittance of composites containing 10~50 wt% clay, heated at 1,200°C for 3 h, increased with increasing clay content and emittance was about 0.3 and 0.92 in the ranges of 3,400~2,500 cm<sup>-1</sup> and 2,500~400 cm<sup>-1</sup>, respectively. The bulk density and bending strength of the Al<sub>2</sub>TiO<sub>5</sub>-clay composites increased with increasing clay content. 50 wt% Al<sub>2</sub>TiO<sub>5</sub>-50 wt% clay composite, heat-treated at 1,200°C, had an adequate strength for infrared radiators; 80 MPa. The degree of thermal expansion hysteresis decreased with increasing clay content and the mean thermal expansion coefficient increased with increasing clay content. The thermal expansion coefficient of 50 wt% Al<sub>2</sub>TiO<sub>5</sub>-50 wt% clay composite heated at 1,200°C was 5.78×10<sup>-6</sup>/°C.

**Keywords :** Al<sub>2</sub>TiO<sub>5</sub>-clay composites, Infrared radiators, Emittance, Radiation energy, Thermal expansion coefficient

### 1. 서 론

세라믹스는 우수한 적외선 방사 특성과 내열성으로 인하여 예로부터 β-spodumene, cordierite, zircon 및 탄소계의 세라믹스가 적외선 방사체로 이용되고 있다.<sup>1-3)</sup> 이들 재료 중, β-spodumene 및 cordierite는 적외선 방사율이 우수하나 소결온도 폭이 좁아 최근에는 넓은 소결온도, 낮은 열팽창율, 내열충격성이 우수하며 고온에서도 사용이 가능한 Al<sub>2</sub>TiO<sub>5</sub><sup>4,5)</sup>의 적외선 방사체 활용에 관한 연구가 진행되고 있다.<sup>6)</sup> 그러나, Al<sub>2</sub>TiO<sub>5</sub>는 결정축에 따른 열팽창계수의 이방성에 의한 냉각과정 중 미세균열의 발생, 고온에서 급격한 Al<sub>2</sub>TiO<sub>5</sub>입자의 성장, 냉각시 800~1,300°C에서 α-Al<sub>2</sub>O<sub>3</sub>와 rutile 형인 TiO<sub>2</sub>로 분해되는 열적인 불안정성과 출발물질보

다 낮은 Al<sub>2</sub>TiO<sub>5</sub>의 이론밀도에 의하여 발생하는 10~15%의 부피팽창 등에 의한 낮은 소결성과 기계적 강도의 감소 때문에 Al<sub>2</sub>TiO<sub>5</sub> 세라믹스의 공업적 응용에는 많은 제한이 따르고 있다.<sup>4,5)</sup> Al<sub>2</sub>TiO<sub>5</sub>의 가소성과 기계적 강도를 향상시키기 위하여 MgO, Fe<sub>2</sub>O<sub>3</sub>, Cr<sub>2</sub>O<sub>3</sub> 및 Ga<sub>2</sub>O<sub>3</sub>를 첨가하여 Fe<sub>2</sub>TiO<sub>5</sub>, MgTiO<sub>5</sub> 및 (Al,Cr)<sub>2</sub>TiO<sub>5</sub>-고용체를 형성시켜 안정화시키는 열역학적 방법과 SiO<sub>2</sub>, Li<sub>2</sub>O 및 Be<sub>2</sub>O<sub>3</sub>를 첨가하여 Al<sub>2</sub>TiO<sub>5</sub>와 고용체를 형성하지 않고 매트릭스 내 제2상으로서 Al<sub>2</sub>TiO<sub>5</sub>의 입자성장을 억제시켜 안정화시키는 속도론적 방법이 제안되고 있다.<sup>7,9)</sup> 이와 같이 Al<sub>2</sub>TiO<sub>5</sub> 단미 또는 소량의 첨가제를 이용하여 제조한 소결체의 기계적·열적 성질에 관하여 연구가 진행되었으나, 저열팽창성 등의 우수한 열적 성질과 기계적 강도를 동시에 향상시키기 위한 타성분

과의 복합소결체 제조에 관한 연구는 Sugiyama<sup>6)</sup>와 Yano<sup>10)</sup>의 연구를 제외하고는 미진한 실정이다.

따라서, 본 연구에서는 Al<sub>2</sub>TiO<sub>5</sub> 세라믹스의 가소성, 기계적·열적 성질의 향상과 우수한 적외선 방사체를 제조하기 위하여 강원도 정선군의 점토를 합성 Al<sub>2</sub>TiO<sub>5</sub>분말에 첨가하여 Al<sub>2</sub>TiO<sub>5</sub>-점토 복합체를 제조하고 점토의 첨가량과 열처리 조건에 따른 기계적 강도, 열팽창계수 및 적외선 방사특성을 조사하였다.

## 2. 실험방법

### 2.1. 시편제조

TiO<sub>2</sub>(Wako Chem. Co.)와 Al<sub>2</sub>O<sub>3</sub>(Wako Chem. Co.)를 1:1(mol%)로 볼밀을 이용하여 5시간 습식혼합한 후, 60°C로 전조한 분말을 1,500°C에서 3시간 소결하여 Al<sub>2</sub>TiO<sub>5</sub>(AT)분말을 합성하였다. 35 mesh이하로 분쇄한 AT분말에 Table 1의 화학성분을 갖는 점토를 10~50 wt% 첨가한 후, 볼밀을 이용하여 5시간 습식혼합하고 60°C에서 전조하여 Al<sub>2</sub>TiO<sub>5</sub>-점토(AC) 혼합분말을 합성하였다. AC혼합분말을 50 MPa의 압력으로 4×4×50 mm<sup>3</sup>의 각주상의 시편과 지름 50 mm, 두께 3 mm의 원형 시편을 제조하여 1,200~1,400°C에서 3시간 열처리하여 AC소결체를 제조하였다.

### 2.2. 특성분석

점토의 성분은 X-선형광분석기(XRF, Philips, PW1480, Netherlands)를 이용하여 분석하였으며, AT와 AC시편의 부피비중과 흡수율은 KS L 3304와 KS F 2533을 이용하여 측정하였다. 점토의 첨가량과 열처리 온도에 따른 AC시편의 결정상의 변화를 관찰하기 위하여 CuKα, Ni filter, 40 kV, 30 mA의 조건으로 X-선희질분석(XRD, Philips, PW 1710, Netherlands) 분석을 행하였다. AT와 AC시편의 3,300~400 cm<sup>-1</sup>의 적외선 분광방사율과 방사에너지자를 조사하기 위하여 지름 50 mm, 두께 3 mm의 AT와 AC시편을 40°C로 가열한 후, 적외선분광광도계(FT-IR, Mide, U.S.A.)를 이용하여 측정하였다. AT와 AC시편의 열팽창계수는 각주형의 시편을 압봉식 열팽창계(Anter, 1161, U.S.A)를 이용하여 실온~1,300°C의 가열·냉각곡선을 측정하여 100~1,300°C의 평균열팽창계수를 구하였다. 3점곡강도의 측정은 각주형의 시편을 만능시험기(MTS 180, U.S.A)를 사용하여 변위계어 하에서 0.5 mm/min의 cross head speed로 측정하였다. AT시편과 AC시편의 미세구조를 관찰하기 위하여 3점곡강도 시험을 행한 시편의 표면에 Au를 코팅하여 주

사전자현미경(Akashi, SS130, Japan)관찰을 행하였다.

## 3. 결과 및 고찰

1,500°C와 1,200~1,400°C에서 3시간 열처리 한 AT, 점토(JC) 및 AC시편의 XRD분석을 Fig. 1에 보인다. AT시편은 미반응의 Al<sub>2</sub>O<sub>3</sub>와 TiO<sub>2</sub>의 피크는 관찰되지 않고 Al<sub>2</sub>TiO<sub>5</sub>의 피크만 관찰되어 1,500°C의 3시간 열처리에 의하여 순수한 Al<sub>2</sub>TiO<sub>5</sub>의 합성이 가능하였다. 1,200°C에서 3시간 열처리한 점토에는 비정질, quartz 및 mullite의 피크가 관찰되었으나 1,300°C로 열처리한 시편은 quartz와 mullite의 용융에 의하여 비정질만 관찰되었다.<sup>11)</sup> AC시편의 경우, 비정질, Al<sub>2</sub>TiO<sub>5</sub> 및 mullite의 피크가 관찰되었으나 점토의 첨가량이 증가함에 따라 비정질과 mullite의 피크가 증가하고 Al<sub>2</sub>TiO<sub>5</sub> 피크는 감소하였다. 또한, 점토의 첨가량과 열처리 온도가 증가하여도 Al<sub>2</sub>O<sub>3</sub>와 TiO<sub>2</sub>의 피크는 관찰되지 않아 Al<sub>2</sub>TiO<sub>5</sub>의 분해는 발생하지 않음을 알 수 있었다. Al<sub>2</sub>TiO<sub>5</sub>의 분해기구는 Al<sub>2</sub>TiO<sub>5</sub>의 열팽창계수의 이방성에 의하여 입계에 부가되는 압축응력 때문에 분해가 촉진되나 점토의 첨가에 의하여 소결체에 생성된 mullite가 제2상으로 존재하여 Al<sub>2</sub>TiO<sub>5</sub>입자의 성장을 억제시켜 입계에 부가되는 압축응력을 감소시켜 Al<sub>2</sub>TiO<sub>5</sub>의 분해가 억제되었다.<sup>9)</sup>

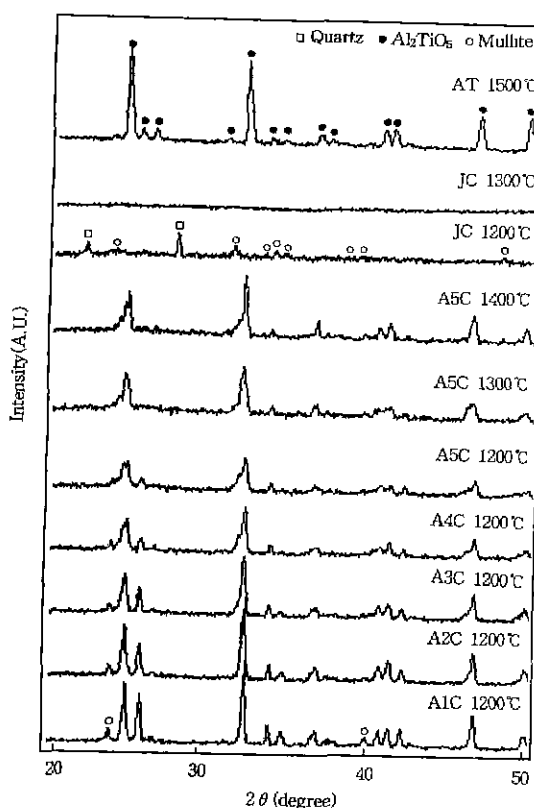
1,500°C와 1,200°C에서 3시간 열처리한 AT와 AC시편의 미세구조를 Fig. 2에 보인다. AT시편(a)에는 냉각과정 중 열팽창의 이방성에 의하여 발생한 미세균열이 존재하는 약 5~10 μm의 Al<sub>2</sub>TiO<sub>5</sub>입자가 관찰되었다. 10 wt%의 점토를 첨가한 A1C시편(b)의 경우, SEM사진에 의하여 mullite입자의 관찰이 곤란하지만 XRD분석으로부터 Al<sub>2</sub>TiO<sub>5</sub>입자 주위의 mullite에 의하여 Al<sub>2</sub>TiO<sub>5</sub>의 입자성장이 억제되어 약 3~5 μm의 Al<sub>2</sub>TiO<sub>5</sub>입자가 관찰되었다. 그러나, 점토의 첨가량이 작아 소결체 내에는 Al<sub>2</sub>TiO<sub>5</sub>입자끼리의 접촉이 많고 미소균열이 관찰되었다. 점토의 첨가량이 20, 30, 및 40 wt%인 A2C(c), A3C(d) 및 A4C시편(e)의 경우, Al<sub>2</sub>TiO<sub>5</sub>의 입자성장이 억제되어 약 2~3 μm의 Al<sub>2</sub>TiO<sub>5</sub>입자와 액상에 의한 치밀화가 관찰되었으나 소결체 내에 큰 기공이 관찰되었다. 50 wt%의 점토를 첨가한 A5C시편(f)은 약 2 μm의 Al<sub>2</sub>TiO<sub>5</sub>입자가 소결체 내에 분산되어 있는 치밀한 구조와 기공이 관찰되었다. 1,300°C에서 열처리한 A5C시편(g)의 Al<sub>2</sub>TiO<sub>5</sub>입자의 크기는 1,200°C의 A5C시편(f)과 같은 약 2 μm이었으나, 1,400°C의 A5C시편(h)은 입자간 소결이 진행되어 약 3~5 μm의 Al<sub>2</sub>TiO<sub>5</sub>입자가 관찰되었다.<sup>6)</sup>

1,500°C와 1,200°C에서 3시간 열처리한 AT와 AC시편을

Table 1. Chemical Composition of Jungsun Clay

(unit: wt%)

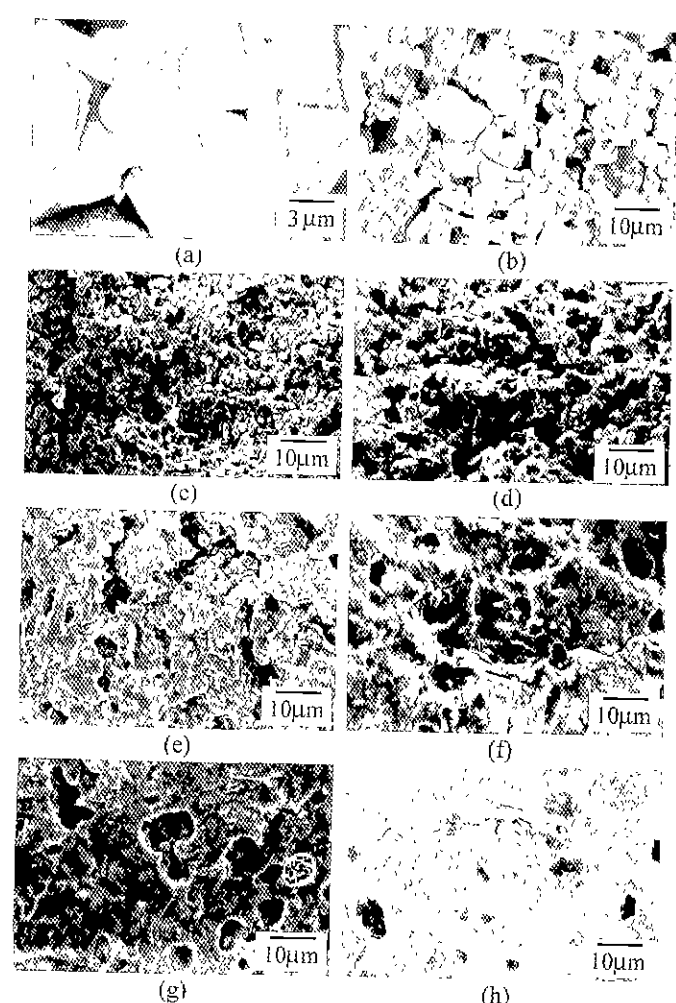
Sample	Comp.	SiO <sub>2</sub>	Al <sub>2</sub> O <sub>3</sub>	Fe <sub>2</sub> O <sub>3</sub>	CaO	MgO	TiO <sub>2</sub>	MnO	K <sub>2</sub> O	Na <sub>2</sub> O	P <sub>2</sub> O <sub>5</sub>	Ig.loss
Jungsun Clay		57.22	16.0	8.24	2.02	2.52	0.86	0.40	2.95	0.51	0.19	9.09



**Fig. 1.** XRD Patterns of AT, JC and AC heated at different temperatures for 3 h.  
AT: Al<sub>2</sub>TiO<sub>5</sub>, JC: Jungsun Clay, AxC: AT( $x \times 10$ )JC.

40°C로 가열하여 측정한 적외선분광방사율을 Fig. 3에 보인다. AT시편은 고파수영역인 3,300~2,500 cm<sup>-1</sup>에서 0.2~0.3의 분광방사율을 나타내었지만 저파수영역인 2,500~400 cm<sup>-1</sup>에서 0.91의 높은 분광방사율을 나타내었다. AC시편의 경우, 3,300~2,500 cm<sup>-1</sup>에서 0.2~0.3의 분광방사율과 2,500~400 cm<sup>-1</sup>에서는 0.92이상의 높은 분광방사율을 나타내었다. 점토의 첨가량이 50 w%인 A5C시편의 분광방사율은 0.94로서 점토의 첨가량이 증가함에 따라 분광방사율은 증가하였으며 1,300과 1,400°C에서 열처리한 A5C시편의 분광방사율은 1,200°C의 A5C시편과 비슷한 결과를 나타내었다.

AT와 1,200°C에서 3시간 열처리한 AC시편의 적외선 분광방사율 측정 결과를 이용하여 구한 분광방사에너지(%)를 Fig. 4에 보인다. AT시편의 분광방사에너지는 366.42 W/m<sup>2</sup>·μm, A5C시편은 378.5 W/m<sup>2</sup>·μm로서 AT시편에 비하여 보다 높은 분광방사에너지를 나타내었으며 점토의 첨가량 증가에 따라 최대 분광방사에너지는 고파수영역으로 약간 이동하였다. 일반적으로 적외선 방사체는 전방사에너지에 대한 2,500 cm<sup>-1</sup>이하의 원적외선 방사에너지가 점유하는 비율을 이용하여 평가를 행한다.<sup>6)</sup> Sugiyama 등에 의하면 Al<sub>2</sub>TiO<sub>5</sub>에 0~50 mass%의 Kibushi(木節)점토를 첨가하여 1,500°C에서 3시간 열처리한 후, 500°C에서 분광방사에너지를 측정한 결과, 전방사 에너지에 대한 2,500 cm<sup>-1</sup>이하의 원적외선



**Fig. 2.** SEM photographs of AT heated at 1,500°C(a), A1C(b), A2C(c), A3C(d), A4C(e) and A5C(f) heated at 1,200°C, 1,300°C(g) and 1,400°C(h) for 3 h.

방사에너지가 점유하는 비율은 Al<sub>2</sub>TiO<sub>5</sub>단미 85.8%, Kibushi 점토를 50 mass%첨가한 소결체는 86.4%로서 Kibushi점토를 첨가한 시편이 보다 높은 분광방사에너지를 나타내었다.<sup>6)</sup> 그러나, 본 실험의 적외선 분광방사율의 측정은 40°C로 가열한 시편을 3,300~400 cm<sup>-1</sup>에서 측정하여 Sugiyama 등의 실험 결과와 비교가 곤란하지만 1,200°C에서 3시간 열처리한 A5C시편의 전방사 에너지에 대한 2500 cm<sup>-1</sup>이하의 원적외선 방사에너지가 점유하는 비율은 AT시편은 86.4%, A5C 시편은 87.8%로서 Al<sub>2</sub>TiO<sub>5</sub>-Kibushi점토 소결체보다 높은 적외선 방사율과 2,500~400 cm<sup>-1</sup>의 원적외선 방사에너지의 양이 많음을 알 수 있다.

AT와 AC시편의 점토 첨가량과 열처리 온도에 따른 흡수율과 부피비중의 변화를 Fig. 5와 6에 보인다. Table 1로부터 본 실험에서 사용한 점토는 Al<sub>2</sub>O<sub>3</sub>에 대한 SiO<sub>2</sub>의 상대비율(SiO<sub>2</sub>/Al<sub>2</sub>O<sub>3</sub>=3.6)<sup>7)</sup> 높아 점토의 첨가량과 열처리 온도가 증가할수록 시편 내 생성된 mullite와 액상에 의하여 치밀화가 진행되어 흡수율은 감소하였으나 부피비중은 증가하

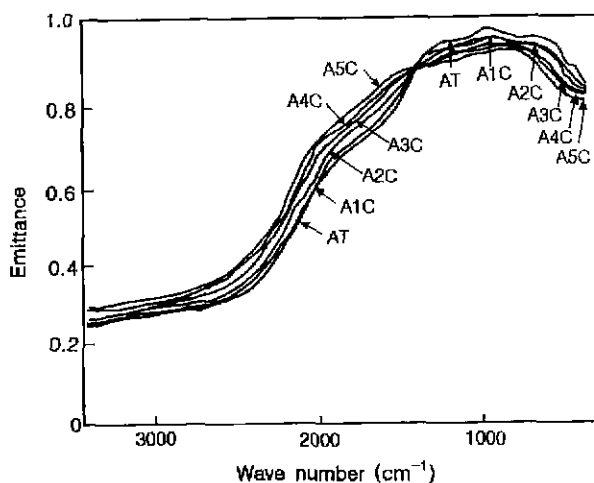


Fig. 3. Spectral emittances of AT heated at 1,500°C and AC heated at 1,200°C for 3 h.

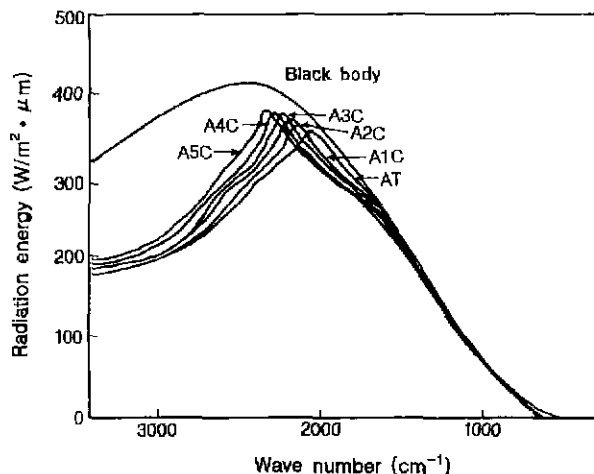


Fig. 4. Radiation energies of AT heated at 1,500°C and AC heated at 1,200°C for 3 h.

였다. Akazawa 등에 의하면 cordierite 소결체의 적외선 분광방사율은 액상 생성 등의 구성상의 변화에 따른 미세구조와 소결체의 상대밀도에 의존하여 열처리 온도가 증가함에 따라 적외선 방사율은 향상된다.<sup>12)</sup> Al<sub>2</sub>TiO<sub>5</sub>의 높은 용융온도로 인하여 AT시편 내에는 액상이 생성되지 않으나 AC시편의 경우, 점토의 첨가량이 증가함에 따라 소결체 내 액상량의 증가를 Fig. 2의 SEM사진으로부터 확인할 수 있다. 따라서, 본 실험에서 제조한 AC시편은 점토의 첨가량이 증가함에 따라 형성된 액상에 의한 소결체의 치밀화와 표면요철의 소멸에 의하여 적외선 분광방사율이 향상되었음을 알 수 있다.

AT시편과 AC시편의 점토의 첨가량과 열처리 온도에 따른 3점곡강도의 변화를 Fig. 7에 보인다. 1,500°C로 열처리한 AT시편의 3점곡강도는 15 MPa로서 1,300°C와 1,400°C의 AT시편의 3점곡강도와 비슷한 결과를 나타내었다. AC시편의 경우, 점토의 첨가량과 열처리 온도가 증가함에 따

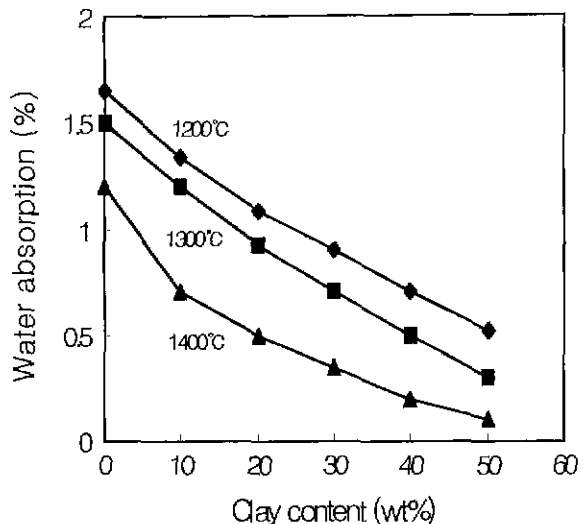


Fig. 5. Water absorptions of AT heated at 1,500°C and AC heated at 1,200°C for 3 h.

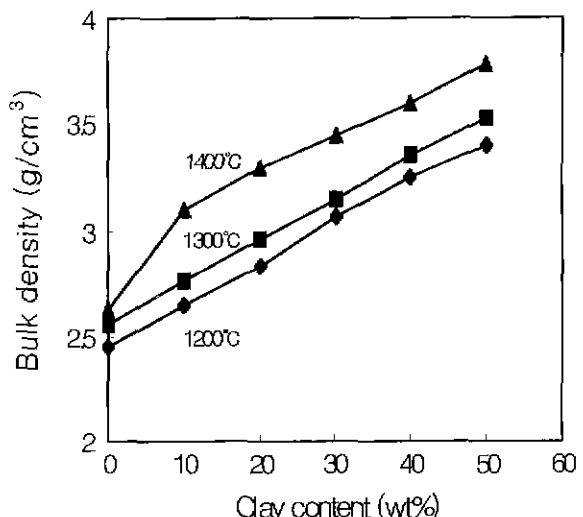


Fig. 6. Bulk densities of AT heated at 1,500°C and AC heated at 1,200°C for 3 h.

라 소결체 내에 생성된 mullite가 Al<sub>2</sub>TiO<sub>5</sub>의 입자성장을 억제하여 3점곡강도는 증가하였다. 1200°C에서 3시간 열처리한 A5C시편의 3점곡강도는 80 MPa로서 적외선 방사체로 사용하기에 충분한 강도임을 알 수 있다.

AT시편과 1,200°C에서 3시간 열처리한 AC시편의 점토의 첨가량에 따른 승온 및 냉각과정의 열팽창곡선을 Fig. 8과 9에 보인다. Fig. 8의 승온과정 중 AC시편은 점토의 첨가량이 증가함에 따라 시편 내 미세균열이 감소하여 AT시편에 비하여 열팽창율이 증가하였으며 약 1,000~1,150°C에서 수축에 의한 변곡점이 관찰되었다. 이는 800~1,300°C에서 Al<sub>2</sub>TiO<sub>5</sub>(밀도 3.7 g/cm<sup>3</sup>)가  $\alpha$ -Al<sub>2</sub>O<sub>3</sub>(밀도 3.99 g/cm<sup>3</sup>)와 rutile형의 TiO<sub>2</sub>(밀도 4.25 g/cm<sup>3</sup>)로 분해되어 약 11%의 부피수축이 발생하므로 이 변곡점은 Al<sub>2</sub>TiO<sub>5</sub>의 분해에 의한 것

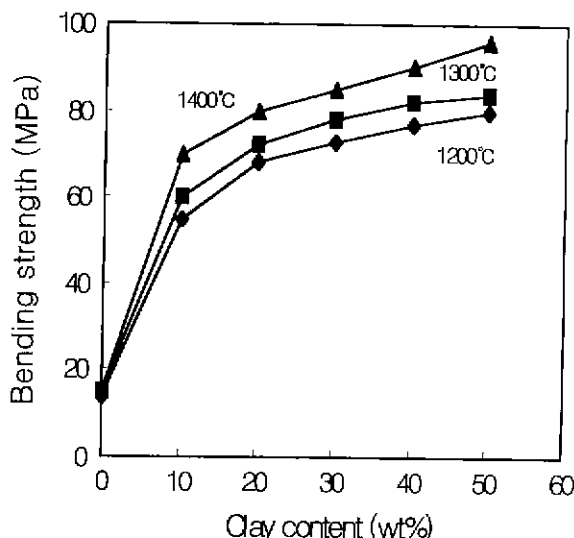


Fig. 7. Bending strengths of AT heated at 1,500°C and AC heated at 1,200°C for 3 h.

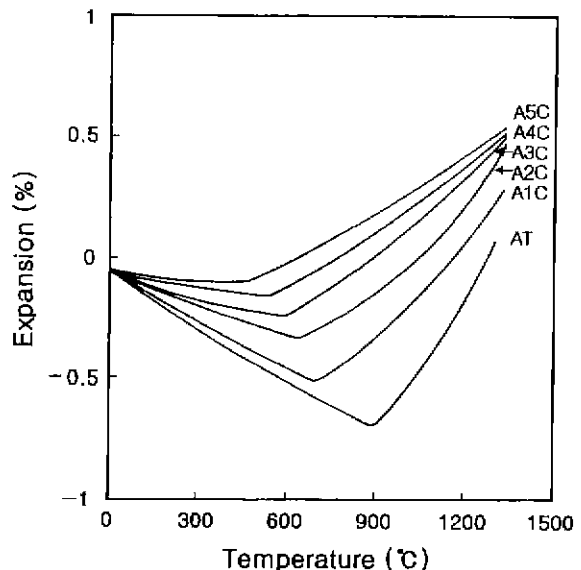


Fig. 9. Thermal expansion curves on cooling stage of AT heated at 1,500°C and AC heated at 1,200°C for 3 h.

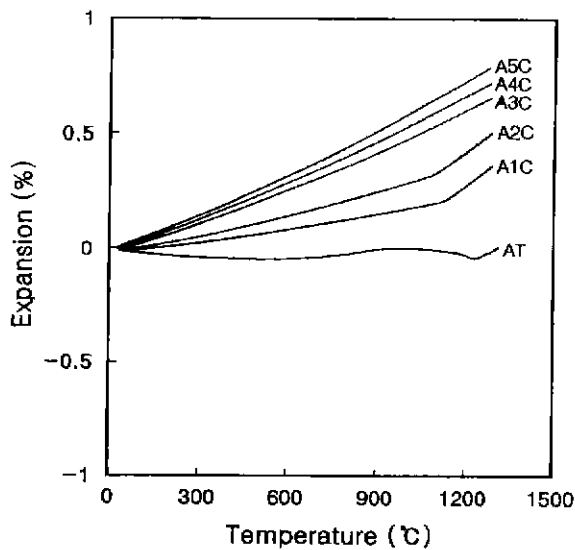


Fig. 8. Thermal expansion curves on heating stage of AT heated at 1,500°C and AC heated at 1,200°C for 3 h.

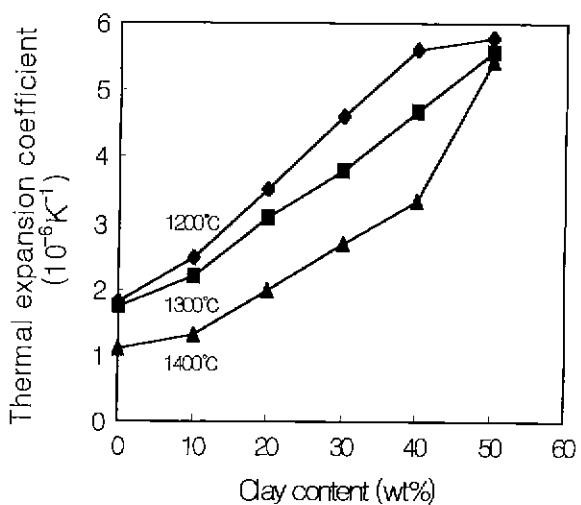


Fig. 10. Thermal expansion coefficients of AT heated at 1,500°C and AC heated at 1,200°C for 3 h.

임을 알 수 있다.<sup>10)</sup> 그러나, 점토의 첨가량이 증가함수록  $\text{Al}_2\text{TiO}_5$ 의 분해억제, 기공의 생성과 부피팽창에 의하여 완만한 수축이 관찰되었다. Fig. 9의 냉각과정 중의 AT시편은 큰 열팽창수축의 이력현상(hysteresis)을 보이지만 점토의 첨가량이 증가함에 따라 이력현상은 감소하여 30 wt%의 점토를 첨가한 시편에는 이력현상이 관찰되지 않았다. 또한, 점토의 첨가량이 증가함에 따라 미세균열 발생온도(micro-cracking temperature)가 낮아져 AC시편 내 미세균열이 감소하였다. 이는 점토의 첨가에 의하여  $\text{Al}_2\text{TiO}_5$ 의 입자성장이 억제되고 미세균열이 감소하여 3점곡강도가 증가한 Fig. 7의 결과와 일치하였다.

AT와 AC시편의 점토의 첨가량과 열처리 온도에 따른 열

팽창계수의 변화를 Fig. 10에 보인다. AT시편은 열처리 온도가 증가함에 따라 열팽창계수가 감소하였는데, 이는 절온 열처리시 AT시편의 소결이 충분히 진행되지 않아 소결체 내  $\text{Al}_2\text{TiO}_5$ 입자의 크기가 작아 저열팽창성의 원인인 입계균열의 발생이 작기 때문이다.<sup>10)</sup> AC시편의 경우, 점토의 첨가량이 증가함에 따라 소결체 내 생성된 mullite에 의한  $\text{Al}_2\text{TiO}_5$ 입자의 성장억제와 기공의 생성 및 부피팽창에 의하여 열팽창계수가 증가하였다. 그러나, 1,400°C에서 열처리한 AC시편은  $\text{Al}_2\text{TiO}_5$ 입자간 소결의 진행에 의하여  $\text{Al}_2\text{TiO}_5$ 입자가 성장하여 열팽창계수가 감소하였다. 1,200°C에서 3시간 열처리한 A5C시편의 평균열팽창계수는  $5.78 \times 10^{-6}/^\circ\text{C}$ , 1300°C와 1400°C의 경우,  $5.56 \times 10^{-6}/^\circ\text{C}$ 와  $5.42 \times 10^{-6}/^\circ\text{C}$ 를 나타내었다.

## 4. 결 론

Al<sub>2</sub>TiO<sub>5</sub> 세라믹스의 가소성, 기계적·열적 성질의 향상과 우수한 적외선 방사체를 제조하기 위하여 정선점토를 합성 Al<sub>2</sub>TiO<sub>5</sub>분말에 첨가하여 Al<sub>2</sub>TiO<sub>5</sub>-점토 복합체를 제조하여 다음과 같은 결과를 얻었다.

1) 1.200°C에서 3시간 열처리한 A5C시편의 2,500~400 cm<sup>-1</sup>의 분광방사율은 0.94로서 AT시편의 분광방사율 0.91에 비하여 향상되었으며, 점토의 첨가량이 증가함에 따라 소결체 내에 생성된 액상에 의한 치밀화와 표면요철의 소멸에 의하여 분광방사율이 증가하였다. AT시편의 분광방사에너지 는 366.42 W/m<sup>2</sup> · μm, A5C시편은 378.5 W/m<sup>2</sup> · μm로서 AT시편에 비하여 높은 분광방사에너지를 나타내었다.

2) 점토의 첨가량과 열처리 온도의 증가에 따른 소결체의 치밀화에 의하여 흡수율은 감소하였으나 부피비중은 증가하였다. 점토의 첨가량과 열처리 온도가 증가함에 따라 소결체 내 mullite가 제2상으로 존재하여 Al<sub>2</sub>TiO<sub>5</sub>입자의 성장을 억제하여 3점곡강도는 증가하였으며 12.00°C에서 3시간 열처리한 A5C시편의 3점곡강도는 80 MPa로서 적외선 방사체로 사용이 가능하였다.

3) 승온과정 중의 AC시편은 점토의 첨가량이 증가함에 따라 미세균열이 감소하여 열팽창율이 증가하였으며 냉각과정의 AT시편은 큰 열팽창수축의 이력현상(hysteresis)을 나타내었지만 점토의 첨가량이 증가함에 따라 소결체 내 생성된 mullite에 의한 Al<sub>2</sub>TiO<sub>5</sub>입자 성장의 억제, 액상 생성에 의한 기공의 생성과 부피팽창에 의하여 열팽창계수가 증가하였다. 1.200°C에서 3시간 열처리한 A5C시편의 평균열팽창계수는 5.78×10<sup>-6</sup>/°C, 1300°C와 1400°C의 경우, 5.56×10<sup>-6</sup>/°C와 5.42×10<sup>-6</sup>/°C를 나타내었다.

## 감사의 글

본 연구는 강원대학교 “석재복합 신소재제품 연구센터”의 “고성능 세라믹스 제조” 연구비 지원에 의하여 수행되었음.

## REFERENCES

1. T. Omori, "Far Infrared Technology," *Ceramics of Japan*, **23**(4), 294-299 (1988).
2. K. Takada, "Far-Infrared Radiant Ceramics and Its Application," *Ceram. of Jpn.*, **23**(4), 310-315 (1988).
3. R. Ikegami, "Application of Far Infrared-Ray in the Industrial Heating Field," *Ceram. of Jpn.*, **23**(4), 315-321 (1988).
4. 김익진, 이행복, 고영신, "Aluminum Titanate- Part 1. -Al<sub>2</sub>TiO<sub>5</sub> 세라믹스의 자동차 엔진에의 응용-", 세라믹기술, **10**(1), 68-74 (1995).
5. 김익진, 이행복, 고영신, "Aluminum Titanate- Part 2. -Al<sub>2</sub>TiO<sub>5</sub> 세라믹스의 고온구조 재료 산업에의 응용-", 세라믹기술, **10**(3), 283-288 (1995).
6. T. Sugiyama and H. Takashima, "Development of Aluminum Titanate-Clay Composites for Infrared Radiator," *J. of the Ceramic Society of Japan*, **105**(11), 991-995 (1997).
7. K. Hamano, Z. Nakagawa, K. Sawano and M. Hasegawa, "Effects of Additives on Several Properties of Aluminum Titanate Ceramics," *The Chem. Sci. of Jpn.*, **10**, 1647-1655 (1981).
8. Y. Ohya, K. Hamano and Z. Nakagawa, "Effects of Additives of Fe<sub>2</sub>O<sub>3</sub> on Microstructure and Mechanical Strength of Aluminum Titanate Ceramics," *Yogyo-Kyokai-Shi*, **92**(5), 261-267 (1984).
9. K. Hamano, Z. Nakagawa, K. Sawano and M. Hasegawa, "Effects of Additives on Several Properties of Aluminum Titanate Ceramics," *Chemistry of Inorganic Materials of Japan*, **10**, 1647-1655 (1981).
10. T. Yano, N. Nagai, M. Kiyohara, K. Saito and N. Otsuka, "Thermal and Mechanical Properties Strength of Aluminum Titanate-Mullite Composites," *Yogyo-Kyokai-Shi*, **94**(9), 44-50 (1986).
11. 한상목, 신대용, 강상규, "저급점토를 이용한 다공성 세라믹스 제조," 세라믹학회지, **35**(6), 575-582 (1998).
12. T. Akazawa, H. Matsubara, J. Takahashi and K. Kodaira, "Sintering and Infrared Radiation Property of Mn<sup>2+</sup>-Substituted Cordierite Solid Solutions," *J. Ceram. Sci. of Jpn.*, **101**(9), 991-995 (1993).